

# 脑型肺吸虫病的 CT 诊断

谭琦瑄

**摘要** 目的:探讨脑型肺吸虫病的 CT 特征,评价 CT 对该病的诊断价值。材料与方法:30 例诊断明确的脑型肺吸虫病。均作颅脑常规 CT 扫描,21 例加作增强扫描,回顾性分析其 CT 表现。结果:单发 19 例,多发 11 例,左侧及顶叶发病数量占优势。可分为浸润型、脓肿型、囊肿型、瘢痕型。平均病程自浸润型至瘢痕型逐渐加长。结论:脑型肺吸虫病的 CT 表现与其病理变化一致,CT 检查对其诊断和疗效观察具有重要价值。

**关键词** 脑型肺吸虫病 断层摄影术 X 线计算机

**CT diagnosis of cerebral paragonimiasis** Tan Qixuan. Department of Radiology, Enshi Autonomous Prefecture People's Hospital, Enshi 445000

**Purpose:** To study the CT appearance of cerebral paragonimiasis and evaluate the diagnostic value of CT for this disease. **Materials and Methods:** CT findings of 30 cases with cerebral paragonimiasis were studied. The diagnosis was confirmed by intradermic test, therapeutic response and pathology. **Results:** monolesion and multilesson have 19 cases and 11 cases respectively, left and lobus parietalis is more common. Lesions can be divided into infiltrative, abscessic, cystic and cicatricial types. **Conclusion:** The CT appearance of cerebral paragonimiasis is agree with its pathologic process. CT examination have significant value for diagnosis and observing therapeutic response of cerebral paragonimiasis.

**Key words** Cerebral paragonimiasis Tomography X-ray computed.

肺吸虫病为本地区的一种较常见疾病,脑型肺吸虫病亦不少见。但目前对脑型肺吸虫病 CT 表现的研究尚不充分。为探讨脑型肺吸虫病的 CT 特征,本文对近 5 年来我院临床、CT 资料完整、诊断明确的脑型肺吸虫病的 CT 表现作一分析。

## 1 材料与方法

### 1.1 病例资料

男 18 例,女 12 例,年龄 6~45 岁,平均 21.8 岁,均有多次生食溪蟹史。肺吸虫抗原皮内试验 22 例强阳性,8 例中等阳性,15 例在 2 月至 5 年前有游走性皮下结节史,9 例结节活检发现与肺吸虫有关的组织学改变,1 例手术切除脑部病灶中发现成虫,20 例急性病例驱虫治疗有效,23 例血嗜酸粒细胞增高。

### 1.2 CT 扫描范围

445000 湖北省,恩施自治州人民医院放射科

颅底至颅顶,层厚=层距:10mm。21 例加作增强扫描,1 例加作椎管造影 CT。

13 例首次 CT 检查分别被误诊为脑炎 5 例,脑脓肿 3 例,肿瘤、结核各 2 例,蛛网膜囊肿 1 例。

## 2 结果

### 2.1 临床表现

每例均有中枢神经系统症状,其中单纯癫痫发作 8 例,颅内高压表现 19 例,偏瘫 13 例。面瘫、语言障碍、行走不稳各 4 例,抽搐、不自主肢体活动、视物不清各 2 例,精神症状 1 例,16 例引出病理反射。临床表现无病因特异性,而与病灶部位及类型有关,如颅内高压者均为浸润型(12 例)或脓肿型(7 例),癫痫大发作者均为瘢痕型(5 例)或囊肿型(3 例)。

### 2.2 CT 表现

单发 19 例,多发 11 例。共 51 个病灶,左

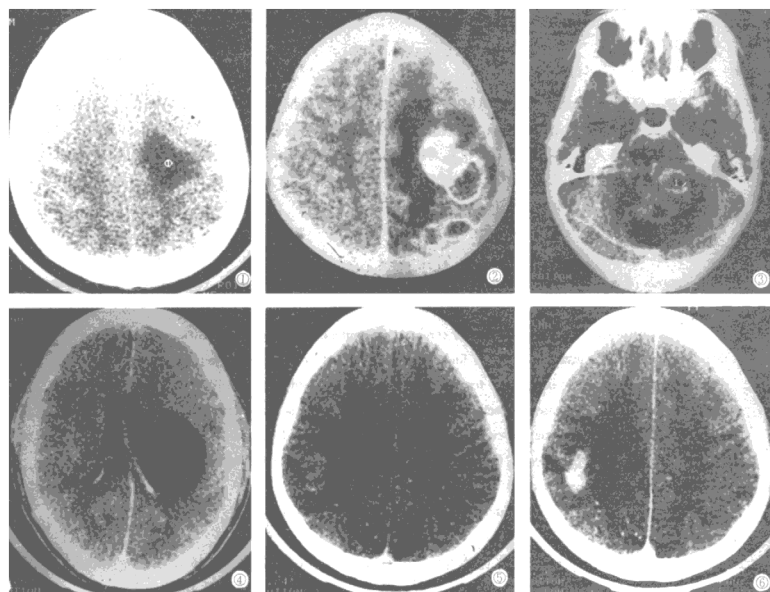


图1 平扫:左顶叶不规则片状密度,大部边界不清。

图2 增强扫描:左顶叶多发不规则环状、结节状明显强化,一环与一结节相连,另二环与一小结节相连。灶周水肿明显。

图3 增强扫描:第四脑室见三环相连、各环强化程度不一的病变,灶周水肿,可见双侧脑室下角扩大。

图4 增强扫描:左侧脑室旁见卵圆形囊性病变,壁不清;内见分隔,占位效应明显。

图5 平扫:双顶叶后部见不规则片状低密度区,边界清,内见多发钙化点。右顶叶前部见一不规则等密度结节,周围水肿明显。下一层面见双侧脑室三角区扩大。

图6 与图5为同一病例,增强扫描:右顶叶等密度结节明显强化。

侧34个,右侧16个,第四脑室1个;顶叶19个,额叶9个,颞顶枕叶交界区、基底节区各8个,枕叶5个,颞叶、顶枕叶交界区各1个。病灶最小者呈斑点状,最大者 $4.5 \times 5 \times 6\text{cm}$ 。

根据不同的CT表现特征,笔者将本组51个病灶分为四型。

#### 2.2.1 浸润型(脑炎型)

见于12例中20个病灶,为不规则片状低密度,边缘模糊,亦可较清楚,可有轻度占位效应,无钙化,增强扫描可见边缘轻微条状强化(图1)。

#### 2.2.2 胀肿型

见于8例中15个病灶,呈多环、单环或结节状,等密度或稍高密度,环内稍低密度,环壁

厚薄不均,灶周均见轻至中度水肿,均有轻度占位效应,无钙化。增强扫描呈明显环状、结节状强化,强化程度可不一致,提示病变新旧不一(图2)。1例位于第四脑室者伴幕上脑室积水(图3),1例作椎管造影CT见马尾神经粘连。

### 2.2.3 囊肿型

见于5例6个病灶,囊壁薄,1例见分隔,占位效应较明显,无灶周水肿及钙化,增强扫描无强化(图4)。

### 2.2.4 瘢痕型(萎缩型)

见于7例中10个病灶,呈不规则低密度区,边界清,均有局部脑萎缩征象,可见多发钙化点,增强扫描无强化。2例伴有不规则结节状明显强化的脓肿型病灶(图5、图6)。

## 3 讨论

本地区为斯氏狸殖吸虫病流行区,人群皮试阳性率24.44%,患病率9.95%,农村19岁以下青少年皮试阳性率达91.71%,感染途径主要是生食作为第二中间宿主的溪蟹<sup>[1]</sup>。

肺吸虫进入胸腔后,可经纵隔、颈内动脉旁上行入颅。可寄生于大脑白质、内囊、基底节、小脑、蛛网膜下腔、脑室,以大脑白质常见。最初引起脑组织破坏、出血(浸润期),继而出现强烈的炎性反应和脓肿形成(脓肿期),随后坏死组织分解、脓肿壁纤维包膜产生形成囊肿,内含粘稠酱状物(囊肿期)。虫体可移居引起新的损害,形成多个以窦道相通的脓肿或囊肿。囊内成虫移居或死亡后,囊内容物逐渐吸收,肉芽组织增生充填而形成瘢痕(硬结期)。由于成虫可存活数年,故可造成多处新旧不一的病变<sup>[2]</sup>。

本组病例的CT表现均与肺吸虫病的病理改变相符,浸润型、脓肿型、囊肿型、瘢痕型分别与不同时期的病理改变相对应。朱达斌等将脑型肺吸虫病分为脑炎型、脓肿型、萎缩型三型<sup>[3]</sup>。笔者认为脓肿型与囊肿型不但CT表现有明显区别,且属不同病理过程,故应分开为宜。同一病例可见不同类型病变,同一类型病变亦可见新旧不一征象,均因成虫在脑内长期存活、迁移所致。

根据本组病例的误诊教训,脑型肺吸虫病应与脑内一般炎性病变、脓肿、结核、肿瘤、蛛网膜囊肿及其它寄生虫病鉴别。在肺吸虫病流行区如在颅脑CT检查中遇到具有上述各类型影像特点的疑似病例,应仔细追问有无生食溪蟹史及游走性皮下结节史,并作抗原皮内试验或补体结合试验、血嗜酸粒细胞计数、脑脊液化验及胸部X线片等有关检查,综合分析,脑型肺吸虫病的诊断应不难确立。本组有13例首次CT误诊的主要原因就是没有掌握全面资料。浸润型、脓肿型病变驱虫治疗后复查均有明显吸收好转。

CT检查对脑型肺吸虫病的定性、定量、定位、分型、疗效观察具有重要价值,怀疑该病者均应作CT检查。

## 参考文献

- 1 杨国安.湖北鄂西自治州斯氏狸殖吸虫病流行病学调查.中国寄生虫病防治杂志,1991,4:238.
- 2 武忠弼主编.病理学(第二版).北京:人民卫生出版社,1985,515-516.
- 3 朱达斌,彭乍罗.脑型肺吸虫病的CT诊断.临床放射学杂志,1991,10:203.

(1997-10-25 收稿)